

## ЛИТЕРАТУРА

1. Снек. Торцовое уплотнение с эксцентриситетом и тангенциально изменяющейся толщиной пленки. — Проблемы трения и смазки, 1969, № 4. — с. 149—155.
2. Константинеску В. Н. Газовая смазка. — М.: Машиностроение, 1968. — 18 с.
3. Белоусов А. И., Зрелов В. А., Чегодаев Д. Е. Исследование торцовых уплотнений с газостатической разгрузкой. — В кн.: Диссоциирующие газы как теплоносители и рабочие тела энергетических установок. — Минск, 1977. ч. III. — с. 131—140.

УДК 621.165—226.2—752

*К. Н. Боршанский*

### УЧЕТ ВЛИЯНИЯ ПОДАТЛИВОСТИ ЗАДЕЛКИ НА СОБСТВЕННЫЕ ЧАСТОТЫ ЛОПАТОК ТУРБИНЫ

При определении собственных частот рабочих лопаток турбины наиболее часто используется схематизация лопатки в виде гонкостенного предварительно закрученного стержня, совершающего связанные изгибно-крутильные или изгибно-крутильно-продольные колебания [1], [2]. Сопоставление экспериментальных и расчетных результатов показывает, что схематизация обеспечивает достаточную точность при определении собственных частот «длинных» лопаток с большим отношением  $li$  ( $l$  — длина лопатки;  $i = \sqrt{IF}$  — радиус инерции корневого сечения;  $I$ ,  $F$  — соответственно момент инерции и площадь корневого сечения лопатки). По мере уменьшения отношения  $li$  расхождение между экспериментальными частотами и расчетными, полученными в предположении жесткой заделки лопатки в корневом сечении, возрастает, что свидетельствует об увеличении влияния податливости заделки на собственные частоты. Определить влияние податливости заделки на собственные частоты можно, например, с помощью метода конечных элементов, если считать, что в колебаниях участвует не только перо лопатки, но и прилегающая к лопатке часть обода диска [3].

Значительный интерес представляет не только получение численных результатов для лопаток конкретных ступеней, но и нахождение некоторых общих закономерностей, позволяющих определить класс лопаток, для которых учет податливости заделки является необходимым, а также выяснение относительно-

го влияния на собственные частоты нормальных и касательных напряжений, действующих в корневом сечении лопатки. В работе [4] было исследовано влияние податливости заделки при условии заделки корневого сечения лопатки в упругое полупространство. Было показано, что при определении частот граничные условия можно представить в следующем виде:

$$\left. \begin{aligned} v(0) &= -C_{11}^{\text{отн}} \frac{i^3}{EI} Q(0) + C_{12}^{\text{отн}} \frac{i^2}{EI} M(0); \\ \frac{dv(0)}{dz} &= C_{22}^{\text{отн}} \frac{i}{EI} M(0) + C_{21}^{\text{отн}} \frac{i^2}{EI} Q(0), \end{aligned} \right\}$$

где  $v(0)$ ,  $dv(0)/dz$ ,  $M(0)$ ,  $Q(0)$  — соответственно прогиб, угол поворота, изгибающий момент и перерезывающая сила в корневом сечении лопатки;  $E$  — модуль упругости;  $C_{ij}^{\text{отн}}$  — коэффициенты, зависящие от формы, но не от размеров поперечного сечения<sup>1</sup>.

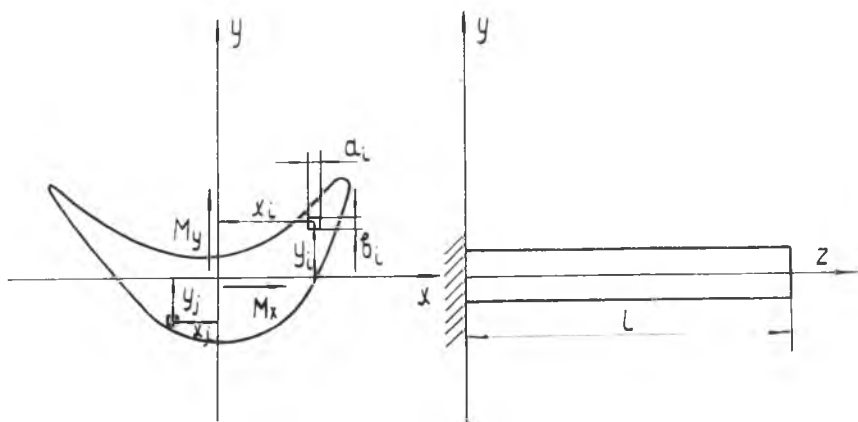


Рис. 1. Форма поперечного сечения лопатки и использованная система координатных осей

Форма поперечного сечения лопатки изображена на рис. 1, там же указаны положительные направления координатных осей. Перемещения различных точек корневого сечения лопатки в направлении осей  $x$ ,  $y$  (главных осей поперечного сечения) и  $z$  обозначены соответственно « $u$ », « $v$ » и « $w$ ».

<sup>1</sup> Вообще говоря, величины  $C_{ij}^{\text{отн}}$  зависят и от отношения осевых размеров пера лопатки и обода диска; в работе [4], однако, показано, что величина коэффициента  $C_{22}^{\text{отн}}$  зависит от этого отношения сравнительно слабо.

В работе [4] было показано, что для имеющих практическое значение отношений  $l/i$  наибольшее влияние на собственные частоты оказывает коэффициент  $C_{22}^{отн}$ , характеризующий связь между углом поворота корневого сечения и действующим в этом сечении изгибающим моментом. Таким образом, при определении низших собственных частот можно использовать следующие приближенные граничные условия для корневого сечения лопатки:

$$\left. \begin{aligned} v(0) &= 0; \\ \frac{dv(0)}{dz} &= C_{22}^{отн} \frac{i}{EI} M_x(0). \end{aligned} \right\} \quad (1)$$

В работе [4] рассмотрены некоторые простейшие типы поперечных сечений (прямоугольник, круг, полукруг, трубка, полутрубка) и показано, что для вычисления коэффициента  $C_{22}^{отн}$  необходимо знать распределение радиальных перемещений  $w_i$  в различных точках  $i$ -го корневого сечения. Закон изменения радиальных перемещений  $w_i$  зависит от характера распределения нормальных напряжений по сечению, который заранее не известен. Предполагая, что нормальные напряжения в корневом сечении распределены по линейному закону, т. е.  $\sigma_i = C y_i$ , вычислим радиальные перемещения в различных точках корневого сечения лопаточных профилей и величины коэффициентов  $C_{22}^{отн}$ . В дальнейшем будет показано, что закон изменения нормальных напряжений по сечению слабо влияет на величину коэффициента  $C_{22}^{отн}$  и, следовательно, на собственные частоты колебаний лопаток.

При определении радиальных перемещений  $w_i$  в различных точках лопаточных профилей будем использовать следующие упрощающие предположения: профиль разбивается на достаточно большое число (150—200) прямоугольных элементов; в пределах каждого элемента нормальные напряжения сохраняются постоянными, равными величине напряжений в центре элемента; радиальные перемещения в центре каждого элемента определяются суммарным воздействием нагрузок: равномерно распределенной нагрузки  $\sigma_i = C y_i$ , действующей на данный прямоугольный элемент со сторонами  $a_i$  и  $b_i$ , и суммы сосредоточенных нагрузок величиной  $\sigma_j a_j b_j$ , приложенной в центре  $j$ -х прямоугольных элементов со сторонами  $a_j$  и  $b_j$ .

При сделанных предположениях радиальное перемещение

центра  $i$ -го прямоугольного элемента с координатами  $x_i, y_i$  определим по следующей формуле [5]:

$$\omega_i(x_i, y_i) = \frac{2(1-\nu^2)}{\pi E} \left\{ \sigma_i \left[ a_i \ln \frac{\sqrt{1 + (a_i/b_i)^2 + 1}}{\sqrt{1 + (a_i/b_i)^2 - 1}} + \right. \right. \\ \left. \left. + b_i \ln \frac{\sqrt{1 + (b_i/a_i)^2 + 1}}{1 + (b_i/a_i)^2 - 1} + \sum_{j=1, j \neq i}^N \frac{\sigma_j a_j b_j}{2 r_{ij}} \right] \right\}, \quad (2)$$

где  $N$  — общее число прямоугольных элементов со сторонами  $a_j, b_j$ , на которое разбито корневое сечение лопатки;  $r_{ij} = \sqrt{(x_i - x_j)^2 + (y_i - y_j)^2}$ ;  $x_i, y_i$  и  $x_j, y_j$  — координаты центров соответственно  $i$ -го и  $j$ -го прямоугольных элементов;  $\nu$  — коэффициент Пуассона, принятый равным 0,3.

Обоснованность принятых предположений и, следовательно, формулы (2) подтверждается частным случаем, имеющим аналитическое решение. В работе [5] приведены формулы для радиальных перемещений граничных точек полупространства под действием распределенных и сосредоточенных нагрузок. Применим указанные в работе [5] формулы для радиальных перемещений в центрах квадратов со сторонами  $a, 3a, 5a, 7a$  и сравним два случая нагружения:

а) под действием равномерно распределенной по всей площади нагрузки интенсивности  $\sigma$ ;

б) под действием равномерно распределенной нагрузки интенсивности  $\sigma$  в центральной части квадрата со сторонами  $a \times a$  и сосредоточенных нагрузок интенсивности  $\sigma a^2$ , приложенных в центрах «малых» квадратов площадью  $a^2$ , на которые разбиваются «большие» квадраты со сторонами  $3a, 5a$  и  $7a$ . При этом разница в перемещениях в центре «больших» квадратов при втором способе нагружения составит соответственно всего 2,22, 1,625 и 1,264% по сравнению с перемещением под действием равномерно распределенной нагрузки.

После определения перемещений  $\omega_i$  различных точек корневого сечения лопатки найдем эквивалентный угол поворота корневого сечения под действием нормальных напряжений ( $\varphi_{\text{экр}}$ ), который в соответствии с формулой (1) равен  $dv(0)/dz$ . Следуя работе [6], определим эквивалентный угол поворота из условия равенства работы нормальных напряжений  $\sigma_i(x_i, y_i)$  на фактических перемещениях  $\omega_i(x_i, y_i)$  и на перемещениях, изменяющихся по линейному закону —  $\varphi_{\text{экр}} y_i$ .

Величину эквивалентного угла поворота корневого сечения лопатки определим по следующей формуле:

$$\varepsilon_{\text{отн}} = \frac{dv(0)}{dz} = \frac{\int_F \omega_i \sigma_i dF}{\int_F y_i \sigma_i dF} \approx \frac{\sum_N \omega_i \sigma_i a_i b_i}{\sum_N y_i \sigma_i a_i b_i} \quad (3)$$

Используя формулы (1) и (3), найдем:

$$C_{22}^{\text{отн}} = \varphi_{\text{экр}} \frac{EI}{i M_x(0)} \quad (4)$$

Если принять линейный закон распределения нормальных напряжений, т. е. считать  $\sigma_i = Cy_i$ , то формулу (4) можно преобразовать к виду:

$$C_{22}^{\text{отн}} = \frac{2(1-\nu^2)}{\pi} \frac{\sum_N \omega_i' y_i a_i b_i}{I_i} = 0,5796 \frac{\sum_N \omega_i' y_i a_i b_i}{I_i},$$

$$\text{где } \omega_i' = y_i \left[ a_i \ln \frac{\sqrt{1 + (a_i/b_i)^2 + 1}}{\sqrt{1 + (a_i/b_i)^2 - 1}} + b_i \ln \frac{\sqrt{1 + (b_i/a_i)^2 + 1}}{\sqrt{1 + (b_i/a_i)^2 - 1}} + \sum_{j=1, j \neq i}^N \frac{y_j a_j b_j}{2r_{ij}} \right]$$

При линейном законе распределения нормальных напряжений результаты вычислений коэффициента  $C_{22}^{\text{отн}}$  для четырех лопаточных профилей (рис. 2) приведены в табл. 1. В таблице указаны также число участков разбиения поперечного сечения на прямоугольные элементы ( $N$ ), геометрические характеристики рассмотренных профилей ( $I, F, i$ ) и относительная координа-

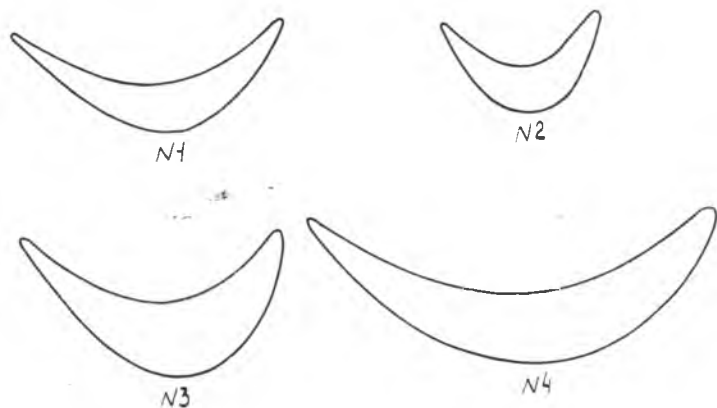


Рис. 2. Лопаточные профили, для которых вычислялось значение коэффициента  $C_{22}^{\text{отн}}$

та точки сечения  $y_{i \text{ отп}} = y_i(\omega_{\text{max}}, y_{\text{max}})$ , в которой радиальное перемещение  $\omega_i$  достигает максимального значения. Величины, указанные в таблице, соответствуют тангенциальным колебаниям лопатки относительно оси минимального момента инерции.

Таблица 1

№ профиля	$N$	$I, \text{см}^4$	$F, \text{см}^2$	$\bar{r}, \text{см}$	$C_{22}^{\text{отп}}$	$y_{i \text{ отп}}$
1	181	14,27	15,55	0,957	1,297	0,757
2	169	12,12	12,72	0,976	1,234	0,658
3	162	64,03	32,42	1,405	1,438	0,617
4	157	92,83	45,74	1,425	1,587	0,549

Из приведенных в табл. 1 данных следует, что значения коэффициента  $C_{22}^{\text{отп}}$  для четырех рассмотренных профилей различаются всего на 28%. Это позволяет теоретически объяснить обнаруженный ранее экспериментально тот факт [7], что для лопаток различных ступеней турбины существует единая универсальная кривая  $\psi - l/i$ , где  $\psi = p/p_0$ ;  $p$  и  $p_0$  — соответственно экспериментальная первая собственная и расчетная частоты. Последняя вычислена в предположении жесткой заделки лопатки в корневом сечении. Наличие универсальной кривой  $\psi - l/i$  имеет место несмотря на то, что в работе [4] теоретически доказано существование зависимости  $\psi - C_{22}^{\text{отп}} l/i$ , а не  $\psi - l/i$ . Именно малая разница численных значений коэффициента  $C_{22}^{\text{отп}}$  для различных активных турбинных профилей объясняет существование единой экспериментальной кривой  $\psi - l/i$ . Следует иметь в виду, что погрешность в определении величины  $C_{22}^{\text{отп}}$ , вызванная ограниченностью числа участков разбиения поперечного сечения, весьма мала, например, уменьшение числа участков разбиения профиля № 1 со 181 до 117 привело к изменению величины  $C_{22}^{\text{отп}}$  всего на 2,4%.

Полученное при линейном законе распределения по сечению нормальных напряжений  $\sigma_i$  распределение перемещений  $\omega_i$  оказалось значительно отличающимся от линейного. Об этом свидетельствуют как относительно малые значения координат  $y_{i \text{ отп}}$  (табл. 1), так и данные, приведенные на рис. 3, где для профилей № 1 и № 4 показано распределение перемещений  $\omega_i$  вдоль нейтральной оси при  $y = 0$  и в перпендикулярном к нейтральной

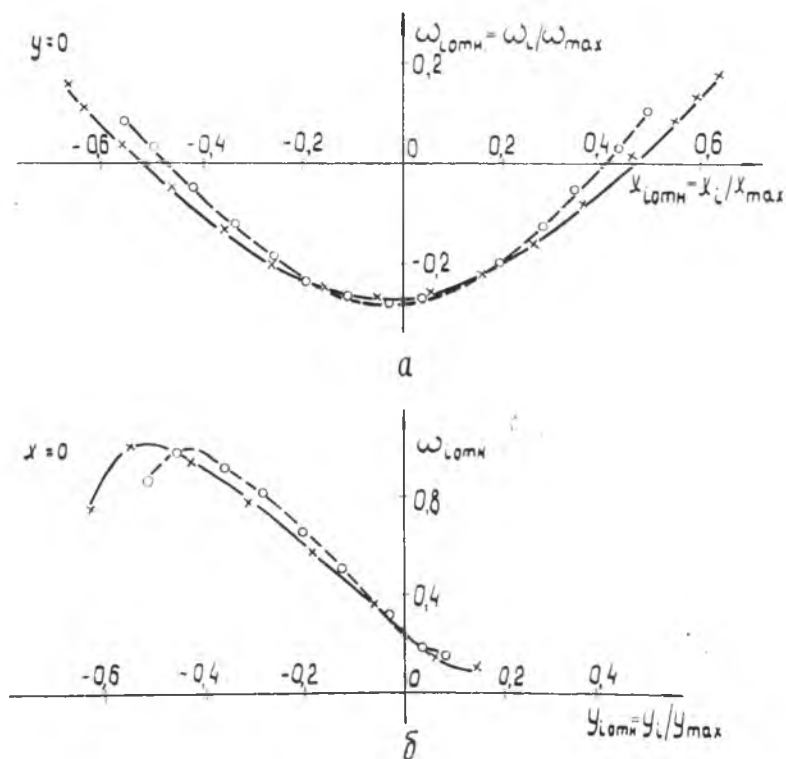


Рис. 3. Распределение перемещений  $\omega_i$  вдоль нейтральной оси (а) и в перпендикулярном направлении (б): о — о — профиль № 1; х — х — профиль № 4

оси направления при  $x = 0$ . Видно, что перемещения  $\omega_i$  уменьшаются по периметру профиля. Так как в сечениях лопатки, достаточно удаленных от корневого, перемещения  $\omega_i$  при первой форме колебаний изменяются примерно по линейному закону, то фактически в корневом сечении будет иметь место относительный рост напряжений в точках, расположенных вблизи контура сечения, в частности на кромках и спинке. Для того чтобы оценить влияние подобного изменения характера распределения нормальных напряжений по сечению на величину  $C_{22}^{отн}$ , рассмотрим кубический закон изменения нормальных напряжений:

$$\sigma_i = C' y_i^3. \quad (5)$$

Легко показать, что при использовании формулы (5) величину коэффициента  $C_{22}^{\text{отн}}$  следует определять по формуле

$$C_{22}^{\text{отн}} = 0,5796 \frac{\sum \omega_i'' y_i^3 a_i b_i}{\left( \sum \frac{y_i^4 a_i b_i}{N} \right)^2} \frac{I}{i}, \quad (6)$$

где значения  $\omega_i$  находятся по формулам (2) и (5), а  $\omega_i'' = \omega_i \pi E / [2(1 - \nu^2) C]$ .

Результаты вычислений коэффициента  $C_{22}^{\text{отн}}$  по формуле (6) для четырех профилей приведены в табл. 2; там же указаны относительные координаты точек  $y_i^{\text{отн}}$ , в которых перемещения  $\omega_i$  достигают максимального значения, и относительные различия ( $\Delta C_{22}^{\text{отн}}$ ) в величинах коэффициента  $C_{22}^{\text{отн}}$  при линейном и кубическом законе изменения нормальных напряжений (разница в величинах коэффициентов  $C_{22}^{\text{отн}}$  для каждого из профилей отнесена к минимальному из двух значений).

Таблица 2

№ профиля	$N$	$C_{22}^{\text{отн}}$	$y_i^{\text{отн}}$	$\Delta C_{22}^{\text{отн}}, \%$
1	181	1.339	0.919	3,24
2	169	1.356	0.921	9,89
3	162	1.48	0.89	2,92
4	157	1.667	0.927	5,03

Как следует из сопоставления данных табл. 1 и 2, закон распределения нормальных напряжений по сечению весьма слабо сказывается на величине коэффициента  $C_{22}^{\text{отн}}$ , что с достаточной для практики точностью позволяет использовать предположение о линейном законе распределения напряжений.

Рассмотрим влияние податливости заделки на аксиальные колебания, т. е. колебания, происходящие относительно оси максимального момента инерции сечения (при рассмотрении совместных изгибно-крутильных колебаний закрученных лопаток необходимо одновременно учитывать податливость заделки и при тангенциальных, аксиальных колебаниях).

Вместо формул (1), (3) и (4) в данном случае следует использовать формулы:

$$\left. \begin{aligned} u(0) &= 0; \\ \frac{du(0)}{dz} &= C_{22}^{\text{отн}} \frac{i_{\max}}{EI_{\max}} M_y(0); \end{aligned} \right\} \quad (1')$$

$$\varphi_{\text{экв max}} = \frac{du(0)}{dz} = \frac{\sum w_i \tau_i a_i b_i}{N} \cdot \frac{1}{\sum x_i \tau_i a_i b_i}; \quad (3')$$

$$C_{22\text{max}}^{\text{отн}} = \varphi_{\text{экв max}} \frac{EI_{\text{max}}}{i_{\text{max}} M_{II}(0)}. \quad (4')$$

где индекс «max» указывает на то, что изгиб рассматривается относительно оси максимального момента инерции сечения.

Результаты вычислений по формулам (1'), (3') и (4') при линейном и кубическом законах изменения нормальных напряжений в корневом сечении приведены в табл. 3.

Таблица 3

№ профиля	N	I <sub>max</sub> , см <sup>4</sup>	i <sub>max</sub> , см	C <sub>22max</sub> <sup>отн</sup>		Δ C <sub>22</sub> <sup>отн</sup> , %
				$\tau_i = Cx_i$	$\tau_i = C'x_i^3$	
1	181	117,1	2,744	0,586	0,553	5,97
2	169	39,7	1,766	0,866	0,846	2,37
3	162	275,8	2,916	0,867	0,858	1,05
4	157	949	4,555	0,663	0,639	3,76

Видно, что и в данном случае величина коэффициента C<sub>22max</sub><sup>отн</sup> весьма слабо зависит от закона изменения нормальных напряжений в корневом сечении лопатки. Так как влияние податливости заделки характеризуется величиной C<sub>22</sub><sup>отн</sup> / l [4], а C<sub>22max</sub><sup>отн</sup> i<sub>max</sub> > C<sub>22</sub><sup>отн</sup> l, то податливость заделки в большей степени снижает частоты аксиальных колебаний, чем тангенциальных. Относительное увеличение влияния податливости заделки на частоты аксиальных колебаний вызвано и тем, что клиновидность лопаток, уменьшающая влияние податливости заделки на частоты тангенциальных колебаний [4], сравнительно слабо влияет на изменение податливости заделки при аксиальных колебаниях.

На рис. 4 приведено сопоставление экспериментальных и расчетных данных, характеризующих влияние податливости заделки на собственные частоты при первой форме колебаний рабочих лопаток одиннадцати ступеней турбины мощностью 800 и 1200 МВт. Расчетные кривые 1 и 2, заимствованные из работы [4], соответствуют значениям C<sub>22</sub><sup>отн</sup>, равным 1,267 и 1,655, что приблизительно совпадает с разбросом значений для четырех рассмотренных профилей (табл. 1). Точки на рис. 4 соответствуют отно-

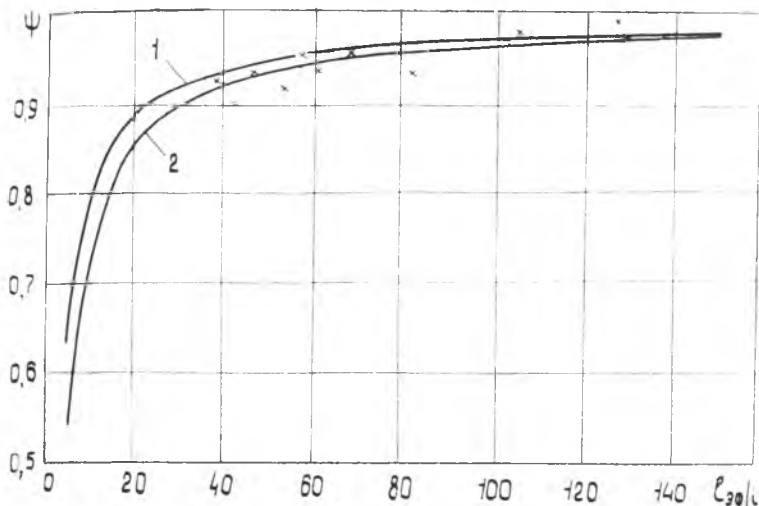


Рис. 4. Сопоставление экспериментальных и расчетных результатов:  
 1 —  $C_{22}^{\text{отн}} = 1,267$ ; 2 —  $C_{22}^{\text{отн}} = 1,655$ ; x — результаты испытаний лопаток различных ступеней

шению средних значений экспериментальных частот, полученных при испытаниях от нескольких сотен до нескольких тысяч лопаток, к расчетным частотам, подсчитанным при условии жесткой заделки лопаток по корневому сечению. Клиновидность лопаток учитывалась с помощью введения эффективной длины лопатки ( $l_{\text{эф}}$ ) по способу, изложенному в работе [4]. Как следует из рис. 4, предложенный способ учета влияния податливости заделки получил достаточно хорошее экспериментальное подтверждение.

#### ВЫВОДЫ:

1. Для различных активных лопаточных профилей численные значения коэффициента  $C_{22}^{\text{отн}}$  сравнительно близки друг к другу.

2. Величина коэффициентов  $C_{22}^{\text{отн}}$  и  $C_{22}^{\text{отн}} \max$  слабо зависит от закона распределения нормальных напряжений в корневом сечении лопатки.

3. Влияние податливости заделки на частоты аксиальных колебаний, характеризуемое произведением  $C_{22}^{\text{отн}} i_{\max}$ , оказывается большим, чем на частоты тангенциальных колебаний.

4. При вычислении частот изгибно-крутильных колебаний закрученных лопаток переменного сечения необходимо одновременно учитывать податливость заделки при изгибе как относительно минимальной, так и максимальной оси инерции поперечного сечения.

5. Предложенный метод учета влияния податливости заделки обеспечивает достаточно хорошее совпадение экспериментальных и расчетных значений собственных частот колебаний лопаток.

#### ЛИТЕРАТУРА

1. РТМ 24.026.05—74. Расчет собственных частот и форм колебаний длинных лопаток.

2. Зоробьев Ю. С., Шульженко Н. Г. Исследование колебаний систем элементов турбоагрегатов. — Киев: Наукова думка, 1978. — 135 с.

3. *Joshio Hirota, Akio Hizume, Jasuo Nakagami, Joshiki Kogoya* Recent Technology in Large Steam Turbines, Mitsubishi Heavy Industries, Technical Review, v. 15, № 3, 1978.

4. *Боришанский К. Н.* Влияние податливости заделки на собственные частоты рабочих лопаток паровых турбин. — Проблемы прочности, 1980, № 1. — с. 98—102.

5. *Лурье А. И.* Пространственные задачи теории упругости. — М.: Госгиздат, 1955. — 491 с.

6. *O'Donnel W. J.* The Additional Deflection of a Cantilever Due to the Elasticity of the Support, Transactions of the ASME, journal of Applied Mechanics, v. 27, 1960. — p. 461—464.

7. *Шемитов А. З.* Приближенное определение частоты собственных тангенциальных колебаний коротких лопаток паровых турбин. — Котлотурбостроение, 1947, № 1. — с. 29—31.

УДК 534.284:532.542

*И. Д. Быстров*

### ВЫБОР ПАРАМЕТРОВ АКУСТИЧЕСКОГО РС—ФИЛЬТРА В ДИФФЕРЕНЦИАЛЬНОЙ ГАЗОВОЙ ЦЕПИ С ДРОССЕЛЕМ КОРРЕКЦИИ ЧАСТОТНОЙ ХАРАКТЕРИСТИКИ

При стендовой и летной доводке компрессоров газотурбинных двигателей находят применение зонды для измерения пульсаций давления, включающие в свой состав волноводные каналы и датчики давления. Для повышения точности измерения